

2024~2025 学年度上期高 2025 届 12 月阶段性测试

地理试卷

考试时间: 75 分钟

满分: 100 分

第I卷 选择题 (共 48 分)

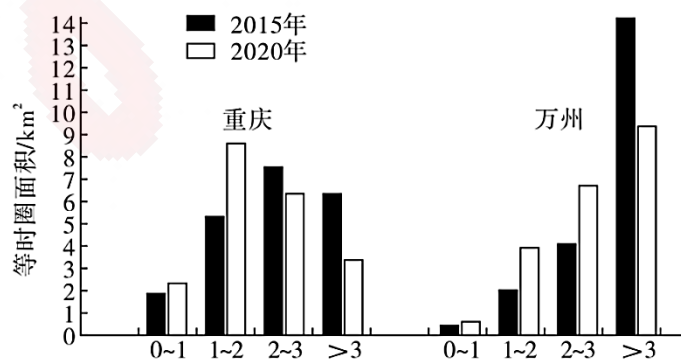
第I卷共 16 个小题, 每个小题有四个选项, 只有一个选项最符合题意, 每小题 3 分, 共计 48 分。请用 2B 铅笔在答题卷上将所选答案的代号涂黑。

现住地与出生地不一致的迁移人口称为终身迁移人口。下表为我国最近的三次人口普查中, 部分地区的终身迁移人口统计数据。据此完成 1~2 题。

地区	终身迁移人口占常住人口比率			2020 年来源地居前五位的省份与总占比 (%)
	2000 年	2010 年	2020 年	
全国	6.2	8.0	10.3	河南、安徽、四川、湖南、湖北 (41.6%)
上海	28.1	44.8	47.6	安徽、江苏、河南、浙江、江西 (61.3%)
北京	34.5	45.4	45.6	河北、河南、山东、黑龙江、山西 (57.5%)
广东	18.2	23.1	27.3	湖南、广西、湖北、四川、江西 (67.4%)
新疆	21.2	17.3	20.0	甘肃、河南、四川、山东、陕西 (72.6%)

- 20 年来, 新疆终身迁移人口的占比高于全国均值, 主要原因是 ()
A. 邻省人口较多 B. 环境质量较好 C. 重点投资开发 D. 消费水平较低
- 与上海和广东比较, 北京终身迁移人口的来源地前五位省份的总占比低, 影响因素是 ()
A. 交通枢纽等级 B. 经济发达程度 C. 城市化水平 D. 环境承载力

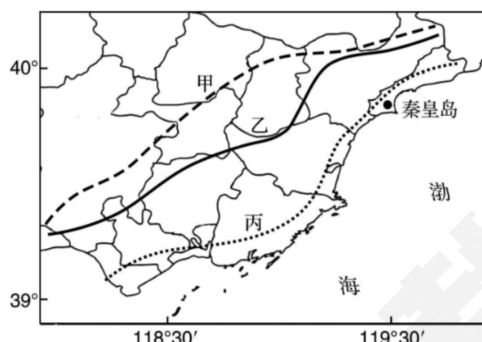
等时圈指从某点出发, 以某种交通方式在特定时间内能到达的距离覆盖的范围。随着都市圈各城市高铁站的开通, 人们的出行耗时有显著变化。下图示意 2015 年和 2020 年成渝都市圈核心城市(重庆)与边缘城市(万州)利用高铁出行等时圈面积变化。据此完成 3~4 题。



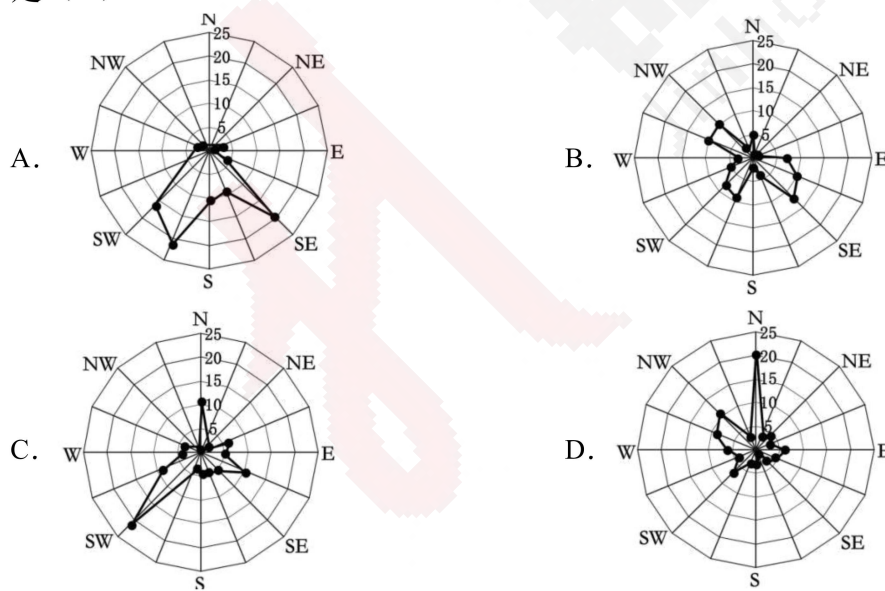
3. 据图推断 2015—2020 年 ()
- A. 重庆 0~1 小时等时圈面积增长最快
C. 万州所有时段的等时圈面积增加明显
4. 高铁的发展将直接促使成渝都市圈 ()
- A. 核心城市的面积扩大
C. 人口向核心城市流动

- B. 重庆 1~2 小时等时圈面积增长快于万州
D. 两个城市短距离出行耗时均有所改善
- B. 边缘城市的等级明显提升
D. 产业快速向边缘城市转移

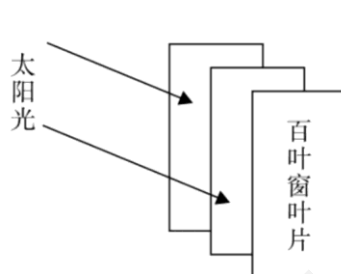
冀东沿海地区一年四季均有海陆风。下图为“不同时节冀东地区海风深入陆地的位置示意图”。据此完成 5~7 题。



5. 以下天气系统影响该地时, 较易观测到海陆风的是 ()
- A. 准静止锋 B. 温带气旋 C. 强冷锋 D. 弱高压
6. 海风深入甲位置的时节是 ()
- A. 春季 B. 夏季 C. 秋季 D. 冬季
7. 下列四图为 6 月秦皇岛 2、8、14 与 20 时的近五年海陆风风向频率图, 其中代表 14 时的是 ()

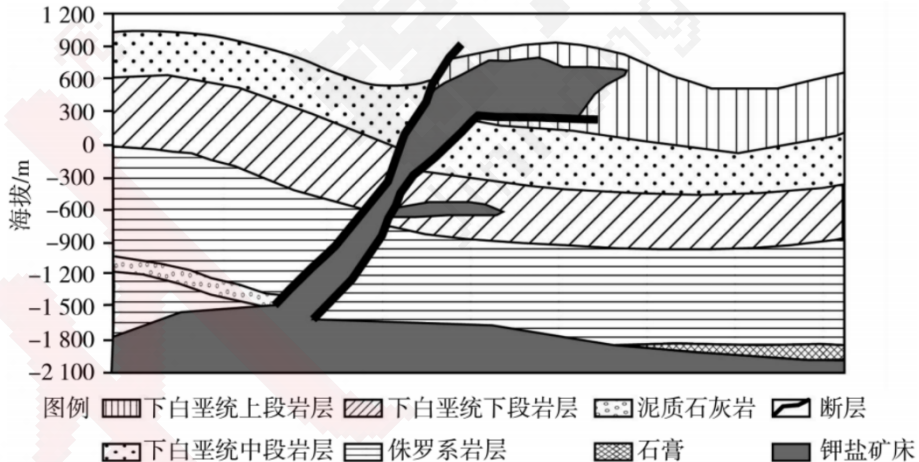


近零能耗建筑是我国建筑节能低碳发展的新趋势。下列左图为成都(104.06° E, 30.67° N)五冶科技中心景观图, 大楼坐北朝南, 南侧采用堆叠的悬挑结构, 东西侧竖向百叶系统(右图)可根据太阳方位自动调节, 达到遮阳或增大采光量的效果。据此完成8~9题。



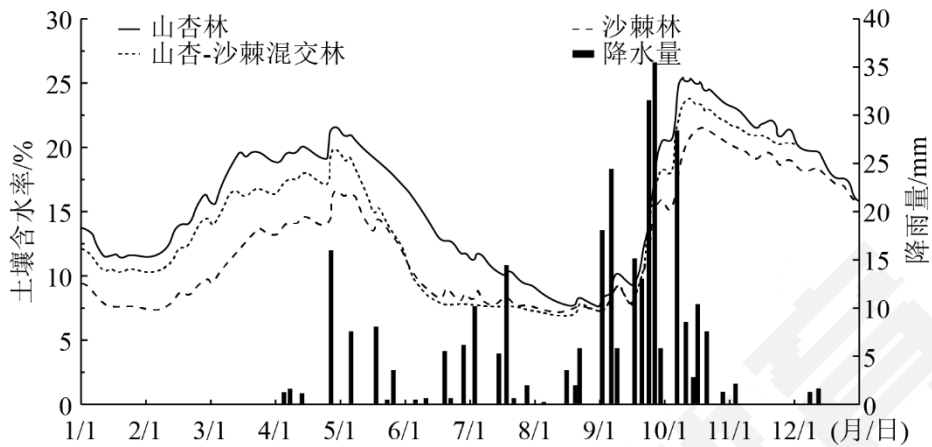
8. 大楼南侧采用堆叠悬挑结构的目的是()
- A. 增大夏季太阳高度角 B. 减少夏季室内自然采光量
C. 减小夏季太阳高度角 D. 增加夏季室内自然采光量
9. 冬季, 百叶窗叶片与太阳入射角保持平行以增大采光量, 下列日期中, 叶片转动角度最小的是()
- A. 10月20日 B. 11月20日 C. 12月20日 D. 1月20日

云南勐野井地区有我国唯一探明的固体氯化钾型钾盐矿床。盐矿成盐物质的主要来源为海水, 成盐时代为侏罗纪。地质调查发现, 该钾盐矿床呈现出由上部、下部组成的“二层楼”构造形态, 且内部有明显的断层裂隙。下图示意该钾盐矿床及周边岩层构造。据此完成10~11题。



10. 盐矿形成时期, 勐野井地区()
- A. 地势抬升, 气候干旱 B. 地势抬升, 气候湿润
C. 地势下沉, 气候干旱 D. 地势下沉, 气候湿润
11. 钾盐矿床形成“二层楼”构造形态主要是因为()
- A. 钾盐矿床形成时期当地存在地势差异 B. 上部卤水受重力沿断层裂隙向下渗漏
C. 断层运动使得钾盐矿层发生垂直错位 D. 下部盐矿受挤压沿断层裂隙向上运移

我国某地南部山区生态环境脆弱，降雨是当地土壤水分的主要来源。土壤水分是限制当地植物生长发育的关键因素。其动态变化不同程度地影响着植被的组成、结构、形态和生理特征。下图示意该地区某年三种不同植被类型土壤含水率和降雨量的变化。据此完成12~13题。



12. 该年8月土壤含水率最低的主要原因是（ ）

- ①降水最少 ②风力强劲 ③植物需水量大 ④蒸发蒸腾较强

A. ①② B. ②③ C. ③④ D. ①④

13. 该地土壤含水率的季节变化说明（ ）

- A. 混交林生长需水量最小 B. 山杏林涵养水源功能最强
C. 沙棘林的生态效益最好 D. 10月份三种植被最为茂盛

20世纪六七十年代，为应对石油短缺的严峻问题，以英国为首的欧洲各国将目光转向未曾大规模开发的北海，海底油田的开发从勘探找油，到产出石油往往耗时五至十年以上。开发初期，英国面向全球石油开发企业发放勘探许可证。1975年北海油田进入油气开发丰收期。由此，北海油田逐渐发展成为世界著名的巨型油气产区。发达国家使用石油的成本（不考虑货币通货膨胀）也逐渐升高。据此完成下面小题。

14. 开发初期，英国面向全球石油企业发放勘探许可证的首要目的是（ ）

- A. 降低石油加工成本 B. 获得各国资金支持
C. 缩短油田开发进程 D. 提高石油开采品质

15. 北海油田开发进入丰收期后，下列能源被替代数量最多的是（ ）

- A. 风能 B. 煤炭 C. 天然气 D. 核能

16. 相对于大多数发展中国家，发达国家使用石油的成本单价升高的主要原因是（ ）

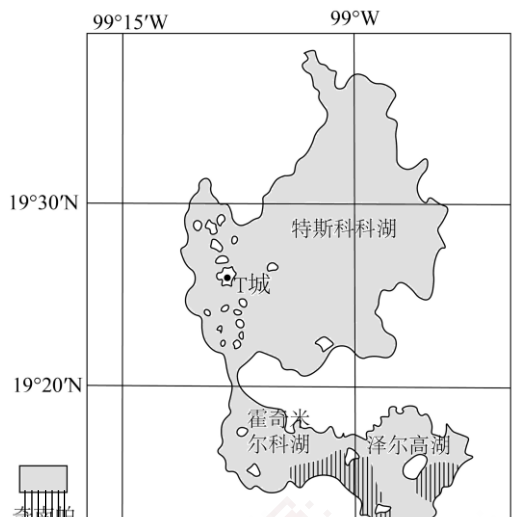
- A. 油价不断上涨 B. 石油用量增大
C. 石油品质更好 D. 治污成本提高

第II卷 综合题 (共 52 分)

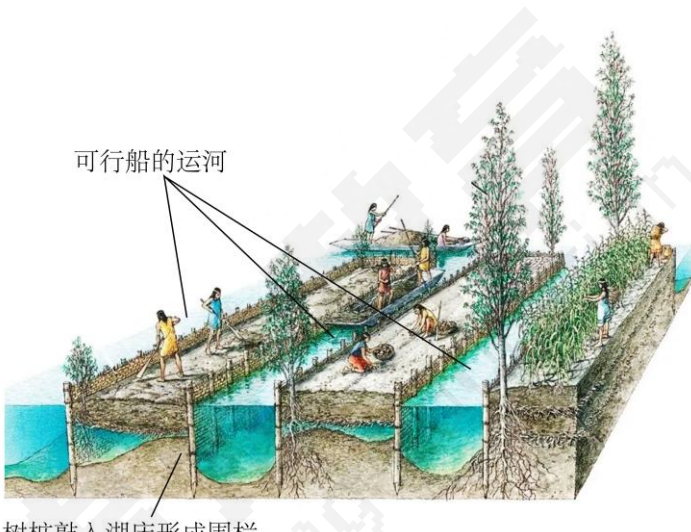
第II卷共 3 个小题, 共 52 分, 请将试题答案写在答题卷对应位置。

17. 阅读图文材料, 完成下列要求。(16 分)

公元 1325 年, 位于墨西哥谷地特斯科科湖的 T 城 (图 a) 建立。由于人口剧增, 自然条件限制, 当地居民在湖泊浅水区域建造众多奇南帕 (图 b) 用于耕种, 成为 T 城食物供应的支柱。奇南帕的农业生产采用人工翻耕、辣椒水杀虫; 农作物收成一年可达 7 次, 每次收成后, 在奇南帕上覆盖一层湖泥即可继续种植。20 世纪 40 年代起, 墨西哥开始大量从国外进口农产品, 约 90% 的奇南帕逐渐被弃用。2018 年, 奇南帕被联合国粮农组织认定为全球重要农业文化遗产。



(a) 墨西哥谷地局部 (1519年)



(b) 奇南帕示意图

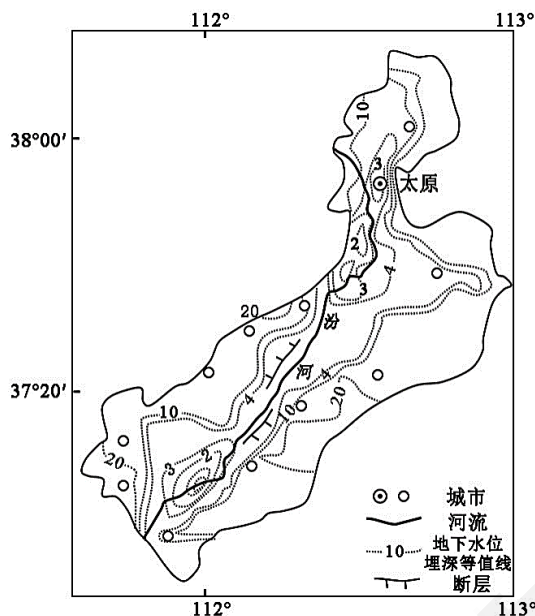
(1) 分析该地农产品产量低的自然原因。(6 分)

(2) 分析奇南帕农作物可多次收成的原因。(4 分)

(3) 推测 20 世纪 40 年代起奇南帕被弃用的原因。(6 分)

18. 阅读图文材料, 完成下列要求。(20 分)

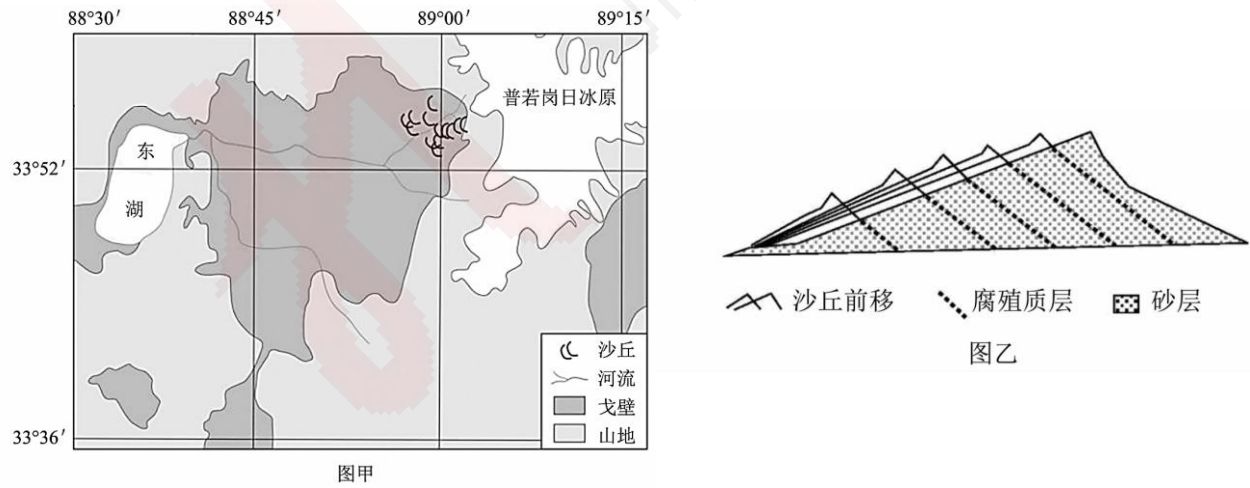
地下水脆弱性是指地表污染物对浅层地下水可能造成的危害程度, 通常由浅层地下水水流系统 (如埋深与地下水脆弱性呈负相关)、水文地质结构、气候等要素决定。太原盆地边缘分布有大量的高含氟矿, 北部是山西省的煤炭和重工业基地, 山地基岩和煤炭中含氟较高。研究表明: 太原盆地南部地区浅层地下水氟元素的含量过高, 局部地区出现氟骨症等地方病, 已经威胁到人类的健康。下图为太原盆地浅层地下水位埋深等值线图 (单位: 米)。



- (1) 根据材料指出该盆地的地势特征。(4分)
- (2) 分析太原盆地南部地区浅层地下水中氟元素的来源过程。(8分)
- (3) 简要说明图中汾河沿岸浅层地下水脆弱性高的原因。(8分)

19. 阅读材料,回答下列问题。(16分)

地处青藏高原腹地的普若岗日冰原(图甲)海拔多在5500m以上,随着冰川退缩,普若岗日冰原边缘发育了新月形沙丘群,沙丘表面水分条件较好。冬季时沙丘个体规模增长快,但是移动速度慢。图乙示意该地区新月形沙丘的发展及结构。



- (1) 根据材料分析当地的盛行风向,并指出该区域沙丘沙源形成的主要外力作用。(6分)
- (2) 分析冬季时该区域沙丘个体规模增长快、移动速度慢的原因。(6分)
- (3) 依据图乙信息,推测该区域沙丘发育过程中气候的变化特点,并说明判断依据。(4分)